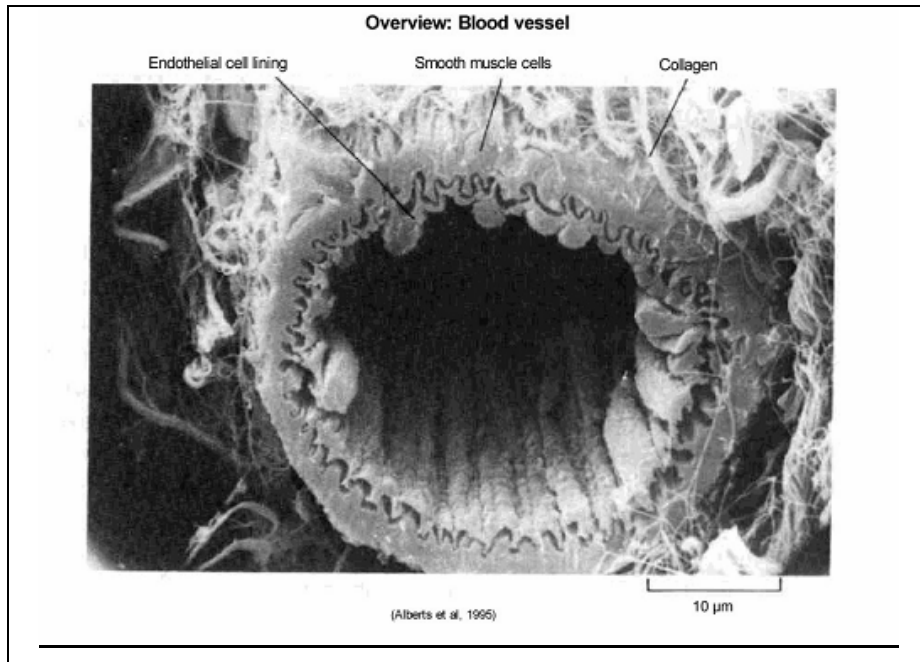
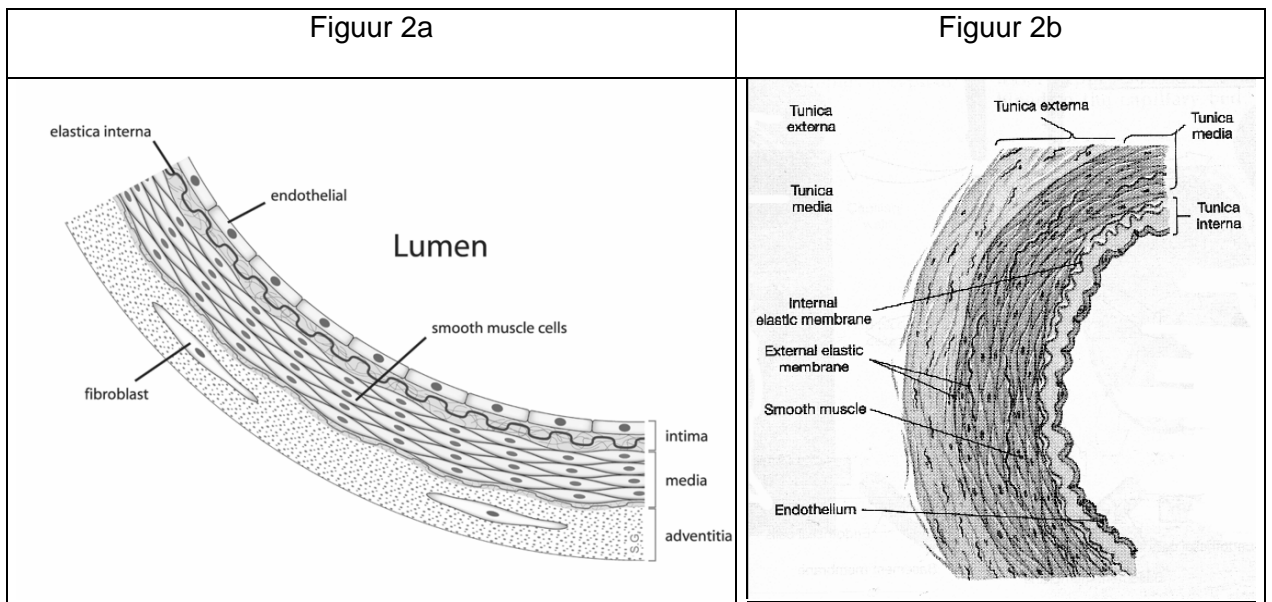


Figuur 1



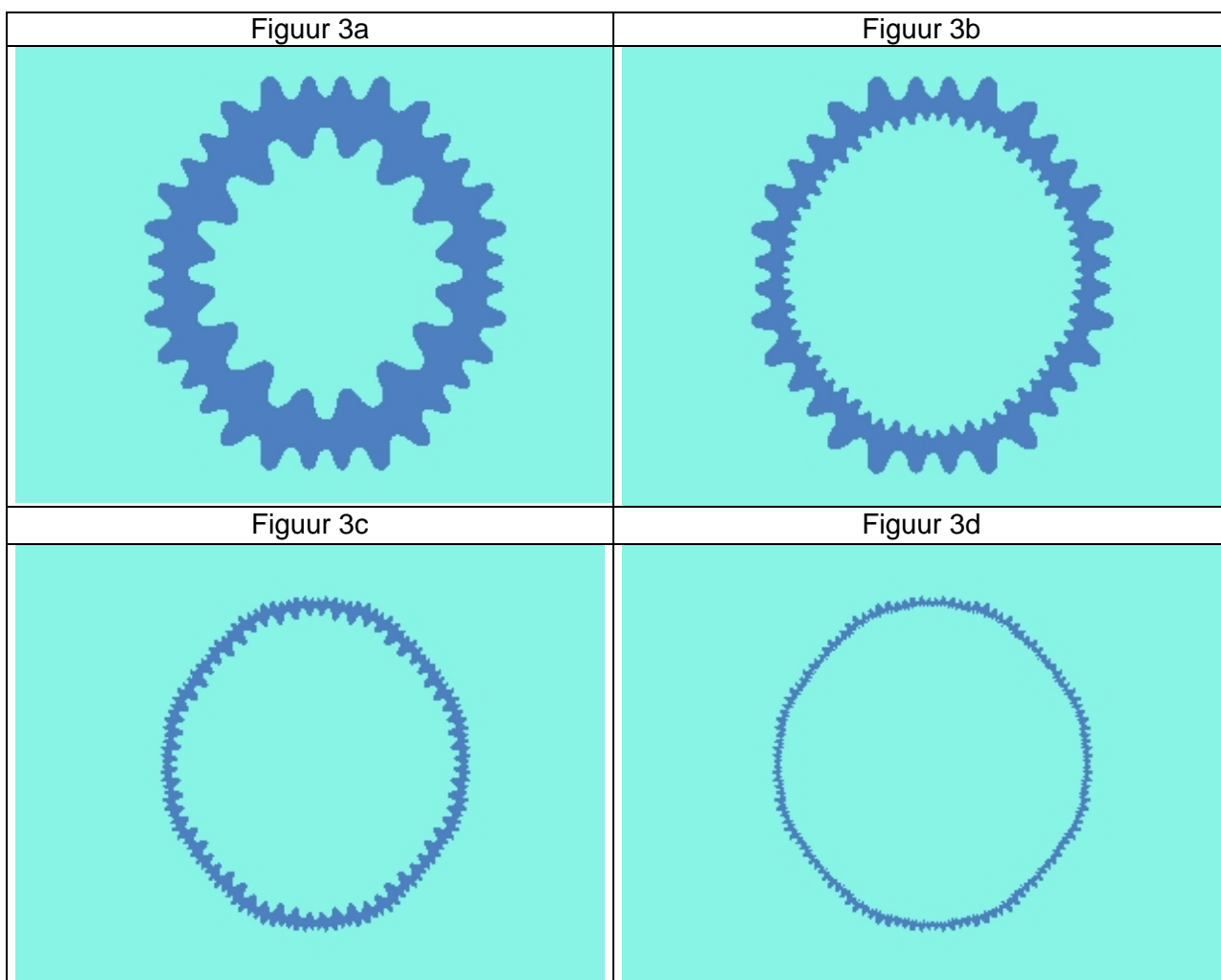
Figuur 2

Schematische weergave van de opbouw van de wand van een natuurlijk bloedvat



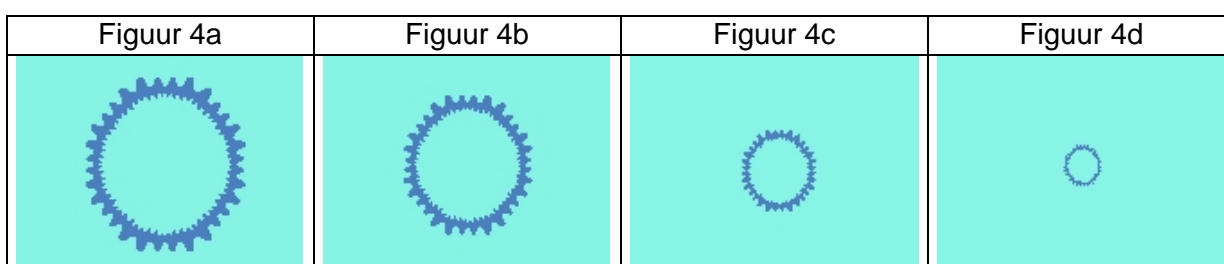
Figuur 3

Voorbeelden van de fractale structuur van de wand van een matrijs voor kunstmatig bloedvat



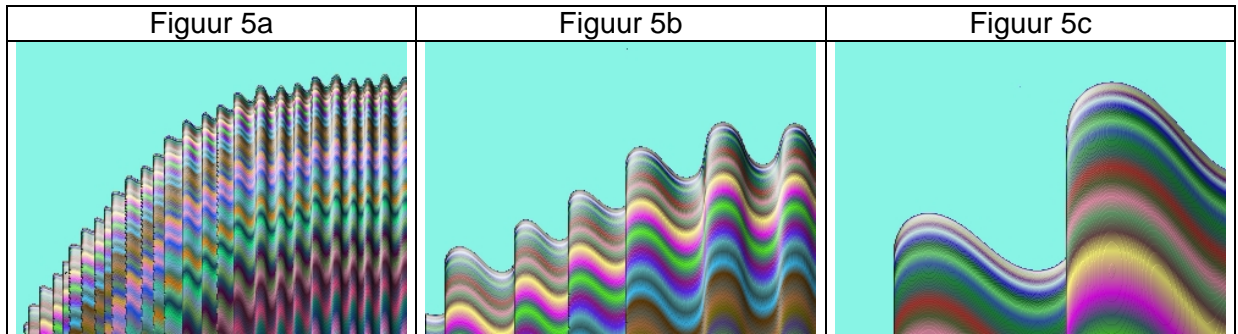
Figuur 4

Voorbeelden van verschillende diameters van de matrijs voor een kunstmatig bloedvat



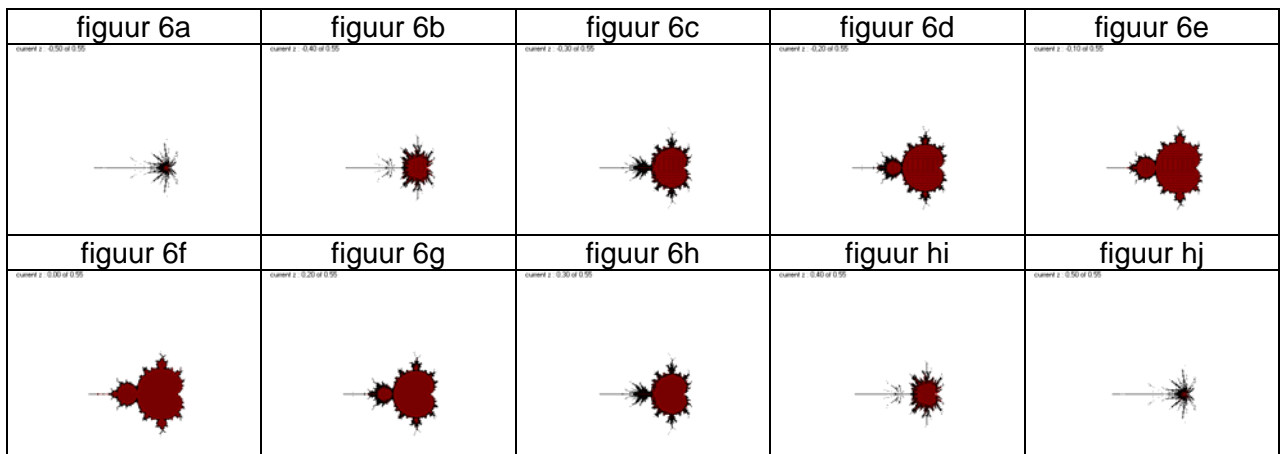
Figuur 5

Voorbeelden van de 3D structuur van de wand van de matrijs voor een kunstmatig bloedvat



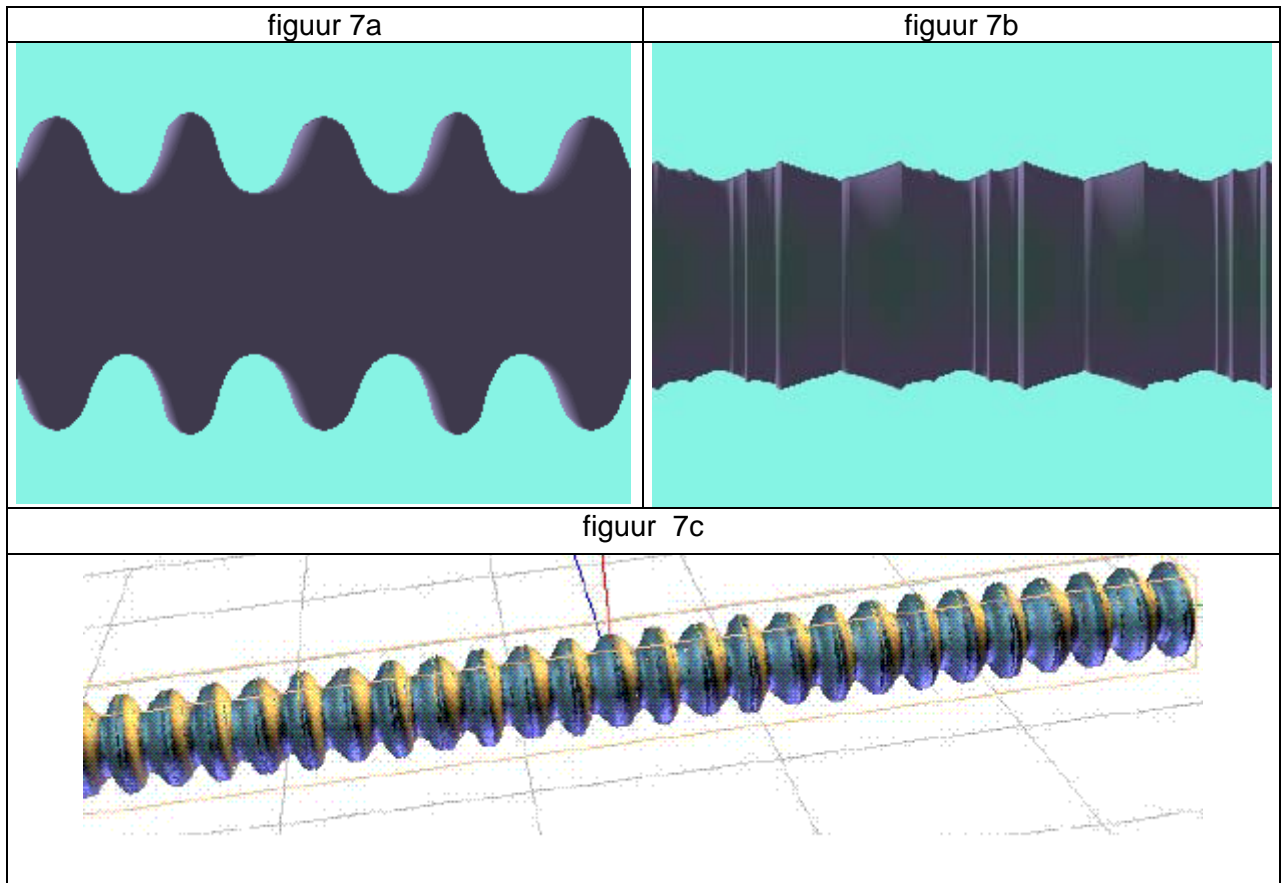
Figuur 6

Voorbeelden van de verschillende laagjes bij het vervaardigen van een 3D Mandelbrot set op basis van de hier beschreven uitvinding.




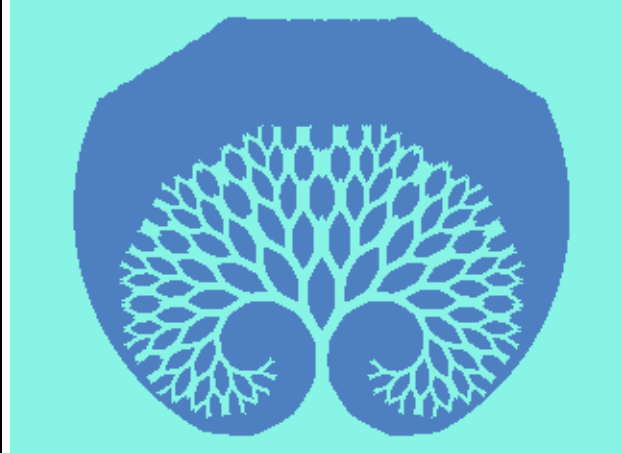
Figuur 7

Voorbeelden van 3D fractale structuur voor het vervaardigen van een kunstmatig bloedvat op basis van de driedimensionale inverse complexe sinus.



Figuur 8

Voorbeelden van fractale modelleringen ten behoeve van het vervaardigen van matrijzen en kunstmatige bloedvaten met een boomstructuur.

<p>figuur 8a fractaal model van boomstructuur in kleur</p>	<p>figuur 8b fractaal model van boomstructuur (zonder kleur)</p>
	
<p>figuur 8c 3D matrijs met 'poreuze' boomstructuur (negatief)</p>	<p>figuur 8d 3D boompje in klei gemaakt met matrijs (positief)</p>
